

العنوان:	وادي المشقر في المجمعـة: دراسة مورفومترية باستخدـام نموذج الارتفاعـات الرقـمي
المصدر:	مجلة جامعة الملك عبدالعزيز - الآداب والعلوم الإنسانية
الناشر:	جامعة الملك عبدالعزيز
المؤلف الرئيسي:	التويجري، حمد أحمد
مؤلفين آخرين:	الخوفى، منيرة إبراهيم، الجعدي، فرحان حسين صالح(م. مشارك)
المجلد/العدد:	مج 28, ع 14
محكمة:	نعم
التاريخ الميلادي:	2020
الصفحات:	274 - 280
رقم MD:	1078177
نوع المحتوى:	بحوث ومقالات
اللغة:	Arabic
قواعد المعلومات:	AraBase, HumanIndex
مواضيع:	الجغرافيا الطبيعية، التغيرات المناخية، سقوط الأمطار، نظم المعلومات الجغرافية، السعودية
رابط:	http://search.mandumah.com/Record/1078177

وادي المشقر في المجمعـة: دراسة مورفومترية بـاستخدام نموذج الارتفاعـات الرقمـي

حمد بن أحمد التويجري

استاذ مشارك قسم الجغرافيا كلية الآداب جامعة الملك سعود

فرحان بن حسين الجعدي

استاذ مشارك قسم الجغرافيا كلية الآداب جامعة الملك سعود

منيرة ابراهيم الخوفي

دراسات عليا قسم الجغرافيا كلية الآداب جامعة الملك سعود

مستخلص. التحليل الكمي للمتغيرات المورفومترية تلعب دور كبير في مختلف المجالات مثل تقدير الاحواض النهرية والجافة وإدارة المياه. وتهدف هذه الدراسة إلى تحديد المتغيرات المورفومترية لحوض وادي المشقر وهو أحد أهم أودية منطقة الرياض الواقع في مدينة المجمعـة شمال العاصمة. وحيث أن المجمعـة تتعرض لامطار سنوية انتـ اهمية دراسة الوادي الذي يمر في قلب مدينة المجمعـة ويلتقـي بوادي الكلـبي هناك. وقد إعتمـدت هذه الدراسة في منهجيتها على بيانات الارتفاعـات الرقمـية DEM لـاستخلاص الخصائـص المورفومترية وتحليلـها باـستخدام نظم المعلومات الجغرافية. ويعتـبر وادي المشـقر من أودـية الرتبـة الخامـسة التي يـبلغ عـدد المـجاريـ فيـه ٤٢٥ رـافـدا وبـمجموع أطـوال تـقدر بـ ٦٢٧ كـم. وتشـير نـتائـج الـدراسـة إـلى مـحدودـية تـأثير السـيـول عـلى المـنـطـقة العـمـرـانـية فـي مدـيـنة المـجمـعـة بـسبـب انـخفـاض كـثـافـة التـصـرـيف الـتي يـصل مـعـدـلـها إـلـى ١,٢ كـم/كم٢ حيث يـقود ذـلـك إـلـى بـطـئ تـأـثير السـيـول.

الكلمات المفتاحية: وادي المشـقر، المـجمـعـة، التـحلـيل المـورـفـومـترـي، نـموـذـج الـارتفاعـات الرـقـميـ، نـظم المـعلومات الجـغرـافية

للطرق والبنية التحتية في المناطق الحضرية والزراعية. وبالتالي أصبحت المساحة التي تحتلها أنظمة التصريف لهذه الأودية مجالاً واسعاً للدراسات العلمية التي تبحث في العلاقة بين الخصائص المورفومترية والخصائص الهيدرولوجية على مدى العقود الماضية (آل سعود، ١٩٩٦، الجعدي وأخرون، ٢٠٠٨، أبو الشواشي، ٢٠٠٣، علاجي،

المقدمة

تمثل الأودية أحد أهم مصادر المياه والأماكن الخصبة التي إتخذـها الإنسان مكاناً لإقامة القرى الزراعية في المناطق الجافة منذ القدم. ومع التـوـسـعـ الحديث للمدن في المملكة العربية السعودية تـزاـيدـ الإـهـتمـام بـدـرـاسـة هـذـهـ الأـودـيةـ الـتـيـ أـصـبـحـتـ مـصـدـراًـ لـلـمـشـاكـلـ الـبـيـئـيـةـ نـتـيـجـةـ لـمـاـ تـحـدـثـهـ السـيـولـ مـنـ تـدـمـيرـ

أخطار السيول عن هذه المدينة في بناء عدد من سدود الحماية في أجزاء من الأحواض العليا لوادي المشقر. وحيث أن لجز المياه في هذه السدود آثاره السلبية في حرمان المزارع من المياه الصحيحة في هذه المنطقة الصحراوية. وحيث تحتاج الدراسات الهيدرولوجية والهندسية توفير بيانات علمية عن الخصائص المورفومترية للأودية والتي تساعد المهندسين على إبتكار الحلول الهندسية بدقة وأمان وكفاءة عالية في حل مثل هذه المشكلات البيئية فإن هذه الدراسة تهدف إلى استخدام نموذج الارتفاعات الرقمية عالية الوضوح المكانى لاستخلاص وتحليل الخصائص المورفومترية لوادي المشقر في المجمع.

منطقة الدراسة

تقع منطقة الدراسة في شمال مدينة الرياض بين خطى طول ($20^{\circ} 45' 00''$ و $20^{\circ} 50' 00''$) شرقاً) ودائرة عرض ($30^{\circ} 00' 00''$ و $30^{\circ} 05' 00''$) شمالاً). وتوضح الخريطة الجيولوجية (Figure 1) التتابع الطبقي في هذه المنطقة الذي يأتي من الأقدم للحدث كما يلي: تكوينات طويق، حنفية، الجبيلة، العرب، الوسيع وآخرهاً روابسب الزمن الرباعي. حيث تسطر صخور تكوينات العصر الجوراسي المتوسط على معظم جيولوجية المجمع. فتطلع صخور تكوينات طويق Jt6 من الصخر الجيري المتكافئ والمارل والكلارنات بقية صخور التكوينات الأقدم منها مثل تكوين ضرما والتي تظهر في أعلى الأودية بالقرب من الرويضة. أما وسط

2010 ؛ صالح، ١٩٩٢). فالحوض المائي مورفومترياً يمثل وحدة مساحية يمكن قياسها كمياً وبالتالي تعتبر موضوعاً علمياً للتحليل والمقارنة والتصنيف والتي يحتاجها صانع القرار في إدارة هذه الأحواض لضمان الاستدامة في استخدامها كمصادر للموارد المائية ودرء أخطار السيول (Javed et al. 2009; Prakash et al. 2019).

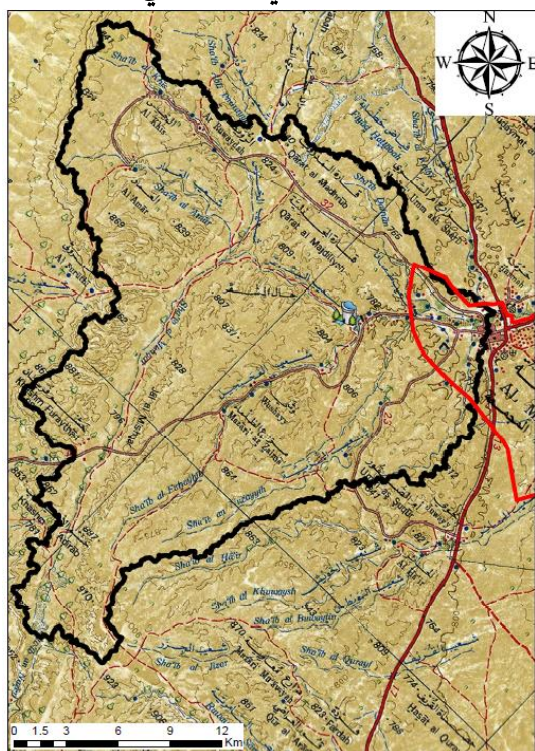
وفي الآونة الأخيرة أحدثت التطورات الهائلة في تتبع تدفق بيانات الإستشعار عن بعد نقلة نوعية في التحليل المورفومترى لهذه الأحواض (آل سعود، ١٩٩٦، المومنى، ١٩٩٧، الجعدي وبوروبي، ٢٠٠٩). كما أحدثت برامج المعالجة الرقمية المتقدمة في نظم المعلومات الجغرافية إمكانية تحليل ومعالجة هذه البيانات بسرعة هائلة مع امكانية توفير الوقت والجهد والتكلفة المادية (التويجري وآخرون، ٢٠١٩). ولذلك لا يكاد تخلو دراسة علمية للأودية من التحليل المورفومترى الذي يعتمد على البيانات التي يتم اشتقاقها من نموذج الارتفاع الرقمي (DEM) المستحصل عليه من الأقمار الصناعية بدلاً من الخرائط الكنتورية. حيث يتم استخلاص شبكة المجاري المائية والعلاقات بين الرتب النهرية ومحيط الحوض بسرعة فائقة بل يمكن إجراء كل ذلك مع محاكاة هيدرولوجية لجريان السيول.

وحيث أن مدينة المجمع من المدن التي تتعرض لأخطار السيول في مواسم الامطار بشكل مستمر فقد إرتكزت الحلول الهندسية التي طرحت سابقاً لدرء

ومن الناحية الجيـومورفـولوجـية تسيطر على المنطقة الطبيـعة التضارـيسـية المنـخـضـة التي تـقطـعـها عـدـدـ من الأـوـديـة القـصـيرـة الضـيقـة. ومن اـهـمـ هـذـهـ الأـوـديـةـ وـادـيـ المشـقـرـ والـحـائـرـ والـمعـيـذـرـ والـنـاقـةـ والـكـلـبـيـ وـضـفـانـ وـالـمشـقـرـ وـالـفـحـيـحـيلـ وـالـنـزـوةـ. ويـطـلـقـ وـادـيـ المشـقـرـ (ـالـذـيـ يـعـرـفـ أـيـضاـ بـوـادـيـ نـمـلـ حـسـبـ الخـرـائـطـ الجـيـولـوـجـيـةـ ٢٠٧ـ عامـ ١٩٥٨ـ) عـلـىـ الـوـادـيـ الـذـيـ يـنـحدـرـ مـنـ ظـهـرـةـ جـبـالـ طـوـيقـ فـيـ الغـرـبـ وـيـتـجـهـ بـشـكـلـ عـامـ شـرـقاـ حـتـىـ يـلـقـيـ مـعـ وـادـيـ الكـلـبـيـ فـيـ المـجـمـعـةـ.

الـوـادـيـ فـتـسـيـطـرـ عـلـىـ صـخـورـ العـصـرـ الجـوـرـاسـيـ الـأـدـنـىـ لـتـكـوـينـ حـنـيـفـةـ hـ الـذـيـ يـتـأـلـفـ مـنـ الـحـجـرـ الجـيـرـيـ النـاعـمـ فـاتـحـ اللـوـنـ الـمـتـاـخـلـ مـعـ الطـفـلـ الـبـنـيـ وـالـمـارـلـ. وـيـسـيـطـرـ عـلـىـ أـسـفـلـ الـوـادـيـ صـخـورـ تـكـوـينـ الـجـبـيـلـةـ zـ الـذـيـ تـتـأـلـفـ مـنـ الـحـجـرـ الجـيـرـيـ الـمـصـفـرـ مـعـ بـعـضـ الـطـبـقـاتـ الـرـقـيقـةـ مـنـ الـكـلـكـارـيـنـاتـ وـالـدـوـلـوـمـاـيـتـ الـمـتـمـاسـكـ. كـذـلـكـ يـظـهـرـ فـيـ اـسـفـلـ الـوـادـيـ صـخـورـ تـكـوـينـ الـعـرـبـ الـذـيـ يـتـأـلـفـ مـنـ الـحـجـرـ الجـيـرـيـ الـبـنـيـ الـلـوـنـ وـالـبـرـيشـاـ. كـمـ تـظـهـرـ أـيـضاـ صـخـورـ تـكـوـينـ الـوـسـيـعـ مـنـ الـحـجـرـ الرـمـلـيـ بـالـقـرـبـ مـنـ مـفـيـضـ الـوـادـيـ.

الـشـكـلـ ١ـ.ـ حـوـضـ وـادـيـ المشـقـرـ فـيـ المـجـمـعـةـ



تـسـتـخـدـمـ نـمـوـذـجـ الـاـرـتـفـاعـاتـ الرـقـمـيـةـ الـتـيـ تـمـ الـحـصـولـ عـلـيـهـاـ مـنـ قـمـ Asterـ بـدـرـجـةـ وـضـوحـ مـكـانـيـ تـصلـ إـلـيـ ٣ـ٠ـ مـ. فـقـدـ تـمـ اـنـشـاءـ حـوـضـ وـادـيـ المشـقـرـ وـالـرـتـبـ

منهجـةـ الـدـرـاسـةـ:
اعتمـدـ فـيـ هـذـاـ الـبـحـثـ عـلـىـ الـمـنـهـجـ التـحلـيـلـيـ وـالـكـمـيـ المـطـبـقـ فـيـ مـثـلـ هـذـاـ النـوـعـ مـنـ الـابـحـاثـ حـيـثـ

التحليلات المتعلقة بالمتغيرات المورفومترية لحوض وادي المشقر كما هو موضح في الجدول (١):

المائية للوادي والاوية المجاورة عبر إستخلاص نقطة الإنقاء مع وادي الكلبي الواقعة غرب مدينة المجمعة. وقد تم استخدام المنهج الكمي لإجراء

جدول رقم (١)

المتغيرات المورفومترية

الصادر	المتغيرات المورفومترية	المعادلة	المراجع
	محيط الحوض Basin Perimeter	(P)	Schumm (1956) GIS software - Raster Calculator
	مساحة الحوض Basin Area	(A)	Schumm (1956) GIS software - Raster Calculator
	طول الحوض Basin Length	(Lb)	Schumm (1956) GIS software - Raster Calculator
	عرض الحوض Basin Width	(Wb)	Schumm (1956) BW= A/Lb
الشكلية	معامل شكل الحوض Form Factor	(Rf)	Horton (1932) $Ff = A / Lb^2$
	نسبة استدارة الحوض Circularity ratio	(Rc)	Strahler (1964) $Rc = 4 * 3.14 * A / P^2$
	نسبة الاستطالة Elongation ratio	(Re)	Schumm (1956) $Re = (2\sqrt{(A/\pi)})/Lb$
	الارتفاع الأقصى Maximum Elevation	(Z)	Schumm (1956) GIS software - Raster Calculator
	الارتفاع الأدنى Minimum Elevation	(z)	Schumm (1956) GIS software - Raster Calculator
	درجة الانحدار للحوض Degree of Slope	(S)	Burrough (1986) GIS software - Raster Calculator
	التضرس Relief	(R)	Strahler (1957) $R = Z - z$
التضاريس النسبية	Ratio of relief	(Rr)	Schumm (1956) $Rr = R/Lb$
	رتب المجاري Stream Order	(U)	Strahler (1957) Hierarchical rank
	عدد المجاري حسب الرتبة Stream numbers	(Nu)	Horton (1945) $Nu = N1+N2+ \dots +Nn$
	طول الرتب Stream length	(Lu)	Horton (1945) Length of the stream
	معدل طول الرتب Stream length ratio	(Lur)	Horton (1945) $Lur = Lu/(Lu-1)$
الشكلية المائية	نسبة التشعب Bifurcation ratio	(Rb)	Strahler (1964) $Rb = Nu/Nu + 1$
	كثافة التصريف Drainage density	(Dd)	Horton (1932) $Dd = Lu/A$
	تكرار الرتب Stream Frequency	(Fs)	Horton (1932) $Fs = Nu/A$
	نسيج التصريف Drainage texture	(T)	Smith (1950) $T = Dd * Fs$
نسيج الحوض	طول التدفق الارضي flow	(Lo)	Horton (1945) $Lo = 1 / Dd * 2$

الزمنية اللازمة لوصولها الى الوادي الرئيسي. لذلك تساهم الخصائص الشكلية في تحديد درجة الخطورة على المدن والظواهر البشرية الأخرى (حضر، ١٩٩٧، فراج، ٢٠١٢). ويوضح الجدول رقم (٢) نتائج قياس المتغيرات الشكلية لحوض وادي بطحان على النحو التالي:

التحليل والمناقشة

الخصائص الشكلية:

تمثل اشكال الاحواض في انتظامها واقترابها من الاشكال الهندسية المعروفة الدائرة والمستطيل والمثلث مؤشراً على نوعية التكوين الصخري لحوض وبالتالي تؤثر في عملية تجميع مياه الجريان والمدة

جدول رقم (٢)

نتائج قياس المتغيرات الهندسية لحوض وادي المشقر

نسبة الاستطالة	معامل استدارة الحوض	معامل شكل الحوض	عرض الحوض كم	طول الحوض كم	مساحة الحوض كم²	محيط الحوض كم
٠,٨	٠,٢٦	٠,٥	16.7	31	519	157.8

استخراج مساحة الحوض باستخدام نظم المعلومات الجغرافية (ArcMap10.6) من خلال جدول بيانات الحوض واختيار امر Geometry. حيث بلغت مساحة حوض المشقر Calculator 519Km².

- **طول الحوض Basin Length** ورمزه (Lb) ويحسب بالكيلومتر او بالمتر. و يقصد به المسافة الافقية بين المصب وابعد نقطة ممكنة. يتم قياس طول الحوض باستخدام نظم المعلومات الجغرافية (ArcMap10.6) من خلال استخدام ادوات القياس. حيث بلغ طول حوض وادي المشقر 31Km. ويتم الاعتماد على هذا المقياس في قياس العديد من الخصائص المورفومترية، ويؤثر أيضا على سرعة الجريان والتسلوب والتباخر والمنتوج حيث يتاسبون مع الحوض تناسب طرديا (علاجي، 2010؛ سلوم، 2012) أي كلما زاد الطول زادت نسبة التباخر والتسلوب والمنتوج.

- **عرض الحوض Basin Width** ورمزه (Wb) ويحسب بالكيلومتر أو بالمتر. عرض الحوض يقاس بطريقتين اما بأبعد مسافة بين نقطتين بعرض الحوض او بمتوسط عرض الحوض حيث يتم اخذ

- **محيط الحوض (Basin Perimeter)**: الذي يأخذ رمز (P) و هو خط وهمي في الحقيقة يصل بين قمم المرتفعات التي عندها يقسم المياه ما بين الحوض و ما يجاوره من احواض أخرى والذي ما يسمى بخط تقسيم المياه أي حدود الحوض (حضر، 1997؛ Hajam et al. 2013) يستخدم في تحديد شكل الحوض ويتم حساب محيط الحوض بالاعتماد على نموذج الارتفاعات الرقمية ومن خلال "Calculate Geometry" في برنامج (ArcMap10.6) لنظم المعلومات الجغرافية في جدول بيانات الحوض ولقد بلغ محيط حوض وادي المشقر 157.8Km.

- **مساحة الحوض (Basin Area)** : ورمزه (A) هناك علاقة طردية بين مساحة الحوض وكمية الفوائد أي كلما كبرت مساحة الحوض كلما زادت فيها الفوائد والتسلوبات وتأخذ زمن تصريف أكثر حيث تقل خطورتها (حضر، 1997؛ محسوب، ٢٠٠٣). وتعتبر الاحواض الكبيرة اقل انحدار من الاحواض الصغيرة (عاشور، 1991). حيث انها أنشأت علاقة بين الحوض (تجمع المياه) ومجموع طول الرتب (Dubey et al. 2015) ويمكن

اكثر تعرجاً فتعتبر المساحة الحوضية في بداية دورتها التحتية أي بمرحلة الشباب (Magesh et al 2011). وقد بلغت قيمة معامل الاستدارة لحوض وادي المشقر ٠,٢٦، أي أن الحوض يبعد عن الاستدارة ويكون الحوض غير منتظم الأجزاء وممتد ويقل وبالتالي تأثيره على التدفق.

- **نسبة الاستطالة Elongation ratio** ورمزه (Re) وهو مؤشر هام في تحليل شكل الحوض حتى يساعد في إعطاء فكرة عن طابع كيفية وصول المياه الجارية إلى المصب (Hajam et al 2013). فكلما اقتربت النتيجة من واحد صحيح (Magesh et al. 2011). وتبلغ نسبة الاستطالة لحوض وادي المشقر ٠,٨ وهذا يدل على وجود تضرس منخفض وبالتالي يميل الحوض إلى قلة التصريف ولا يشك خطورة تذكر على المنطقة العمرانية.

الخصائص التضاريسية:

تكمّن أهمية دراسة الخصائص التضاريسية حيث تعبّر عن انعكاساً لزيادة فعالية عوامل التعرية داخل حدود الحوض ويعطي مدلولاً أيضاً على أنواع الصخور الموجودة فيه (علاجي، ٢٠١٠)، ويمكن تحديد الدورة العمرية بالنسبة للتعرية (أبوالشواشي، ٢٠٠٣) ويمكن معرفة العوامل التي أثرت في تكوين هذا الحوض و تفسير خصائصه المساحية و خصائص شبكة المياه (فراج، ٢٠١٢) ويمكن أيضاً معرفة معدل سرعة الجريان حيث كلما

أكثر من نقطة على عرض الحوض لثلاث مسافات حقيقة واخذ منها المتوسط (خضر ، ١٩٩٧). يبلغ عرض حوض وادي المشقر ١٦.٧ كم وهو ما يقارب نصف طول الحوض. ويستخدم قياس عرض الحوض كمؤشر لتحديد حجم أخطار السيول لتأثيره على حجم التصريف.

- **معامل شكل الحوض Form Factor** ورمزه (Ff) وهو علاقة بين طول الحوض وعرضه وهو مؤشر يدل على تناسب الحوض في شكله. كلما اقترب معامل شكل الحوض إلى صفر دل على عدم تناسب الحوض وعدم انتظامه (محسوب، ٢٠٠٣). وإذا اقترب من رقم ١ دل على اتخاذ الحوض شكلاً دائرياً مما يؤدي لسرعة تحويل مياه الأمطار إلى مياه سيول. ولقد بلغ معامل الشكل في حوض وادي المشقر ٠,٥، أي أن سرعة تحويل مياه الأمطار إلى سيول تعتبر متوسطة.

نسبة استدارة الحوض المائي Basin Circularity ratio ورمزه (Rc) وتستخدم لوصف الحوض واقترب شكله أو ابعاده من شكل الدائرة (فراج، ٢٠١٢). فكلما اقترب الرقم من واحد صحيح يميل الشكل إلى الاستدارة وبالتالي يدل على قدرة الحوض في تجميع كمية المياه من كل الروافد في وقت واحد ويصبح وصولها دفعه واحده إلى الوادي الرئيسي مما يمثل خطورة أكبر على المناطق الواقعة في أسفله (خضر، ١٩٩٧ ; سلوم، ٢٠١٢ زيان، ٢٠١٤)، و كلما ابتعد الرقم من واحد أصبح

حمل الرواسب معها وتدمير كل ما يعترضها (فراج، ٢٠١٢). يوضح الجدول رقم (٣) نتائج قياس الخصائص الشكلية لحوض وادي المشقر على النحو التالي:

جدول رقم (٣)

نتائج الخصائص التضاريسية لحوض وادي المشقر

التضاريس النسبية	التضرس م	درجة الانحدار للحوض	أدنى ارتفاع م	أقصى ارتفاع م
0.007	٢١١	٣٦٠ - ٠°	٧٠٨	٩١٩

(z) الأرتفاع الأقصى الأرتفاع الأدنى (Z)

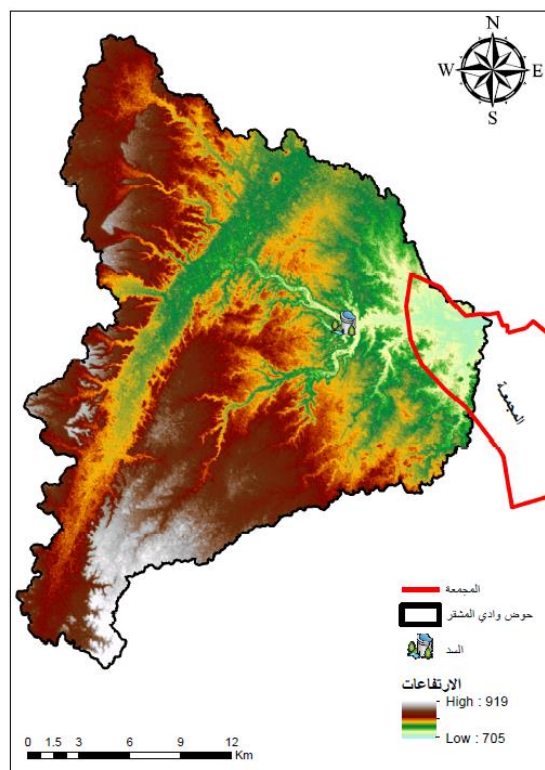
الجلبية (Hajam et al. 2013) وقد بلغت أعلى ارتفاع بواudi المشقر ٩١٩ متراً. وأدنى ارتفاع بلغ ٧٠٨ وهو ما يمثل نقطة المصب كما في الجدول (٣). ويوضح شكل رقم (٢) مناسبات الارتفاعات لحوض وادي المشقر بالاعتماد على نموذج الارتفاعات الرقمية ذات درجة وضوح ٣٠ م.

الشكل ٢. الارتفاعات لحوض وادي المشقر بلاعتماد على نموذج الارتفاعات الرقمية

زادت نسبة التضرس كلما زادت سرعة الجريان مما يؤدي إلى زيادة نسبة خطورتها وعرضها (Magesh et al. 2011; 2012). حيث تصرف المياه في وقت قصير مما يؤدي إلى

جدول رقم (٣)

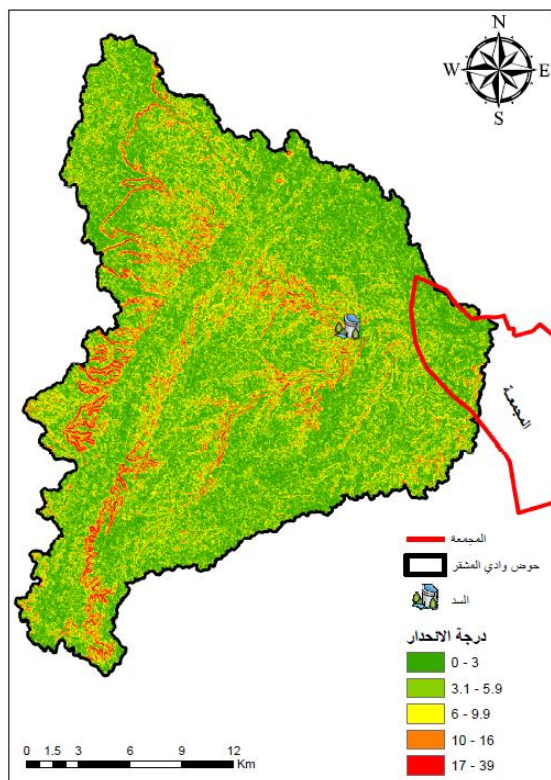
الذي يأخذ رمز (Z) للارتفاع الأقصى و (z) للارتفاع الأدنى حيث ان الارتفاع الأقصى والادنى يعكس أعلى وأقل قيمة منسوب على خط تقسيم المياه. وتساهم على استباثة التضرس والتضاريس النسبية ودرجة الانحدار، حيث تدل أدنى قيمة الى المناطق السهلية واعلى قيمة تدل الى المناطق



سيتم إجراءها على نموذج الارتفاعات الرقمية ضمن أدوات التحليل (Spatial Analyst Tools). و تم استنتاج كما في الجدول(4) حيث بلغ الانحدار الشديد من % 0.01 الى % 1.1 حيث انها مساحة قليلة جدا ، وبلغت نسبة الانحدار خفيف 43% وتعتبر اعلى نسبة ، ويمكن تفسير هذه النتيجة أن المياه تجري ببطيء مما يجعلها تأخذ وقت طويل في الوصول الى المصب ويمكن من خلال ذلك ان تتبخر و تتسرب حيث يقل حدوث السيول.

- درجة الانحدار "الميل" للحوض (Degree of Slope) ويرمز له (S): تعرف شبكة الميل على انه الحد الاعلى لمعدل التغير في القيمة من كل خلية إلى الخلية المجاورة (Burrough, 1986). حيث أن عملية الجريان لأنحدر بشكل منتظم فوق كل المنحدرات خلال وقت واحد، ويعود هذا إلى تأثير اختلاف انحدار السطح حيث تزيد نسبة فقد والتبخّر في المناطق قليلة الانحدار بسبب بطئ جريان المياه فوقها (حضر، 1997)، ويبلغ انحدار المشقر كما في الشكل (٦) من بين ٠ الي ٣٦.٧ وتبعاً لتصنيف بونج (Young, 1972, p.173)

الشكل ٣. درجة الإنحدار لحوض وادي المشقر



جدول ١ معدل الانحدار في حوض المشقر

الانحدار	المساحة	نسبة من المساحة الكلية	الدالة
0	15 كم ²	3%	مستوي
1-2	116 كم ²	23%	شبة مستوي خفيف جدا
2-5	214 كم ²	43%	انحدار خفيف
5-10	107 كم ²	21%	انحدار متوسط
10-18	31 كم ²	5.3%	انحدار فوق المتوسط
18-30	5.8 كم ²	1.1%	انحدار شديد
30 ف اعلى	0.08 كم ²	0.01%	انحدار شديد جدا

لعوامل التعرية النشطة (علاجي، ٢٠١٠) ويستفاد من نسبة التضرس ودرجة الانحدار التي معرفة العمليات الجيومرفولوجية وفهم الخصائص التضاريسية

- التضرس (Relief) ويرمز له (R): هو الفارق بين أعلى وأدنى نقطة ويرتبط تضرس الحوض بنوعية الصخور التي يحتضنها ومدى استجابتها

يمكن عن طريقها إيجاد بعض العلاقات بين خصائص الحوض (حضر، ١٩٩٧). حيث بلغت نسبة التضرس لحوض المشقر ٠.٠٠٧ وتعتبر نسبة قليلة جداً تدل على أن نسبة التغيير منخفضة داخل الحوض.

خصائص الشبكة المائية:

تعتبر طرق الترتيب الهرمي لمجاري الشبكة المائية و من أهمها طريقة هورتون Horton، وطريقة سترايلر Strahler وطريقة شريف Shreve. وتعتبر هذا الترتيب الهرمي للشبكة المائية علامة على مرحلة التعرية التي وصل إليها الحوض المائي (الجعبي وبوروبة، ١٤٢٨هـ). وتم الاعتماد في هذه الدراسة على طريقة سترايلر التي تساعد على استخلاص نتائج كمية تساعد على المقارنة بين الأحواض المجاورة أو غيرها. ويوضح الجدول رقم (٥) نتائج قياس المتغيرات للشبكة المائية لحوض وادي المشقر وهي كالتالي:

(Hajam et al., 2013) ; أبوال Shawashi، (٢٠٠٣) وفهم الخصائص الديناميكية للحوض (Magesh et al. 2011) أي كلما صغرت مساحة الحوض كلما زادت نسبة التضرس حيث تدل القيمة المرتفعة إلى شدة النحت و الجريان (Magesh et al. 2011) حيث توجد علاقة ارتباط بين التضرس و الصرف والتدفق من القنوات (Hajam et al. 2013) في هذه الدراسة اظهرت النتائج ان التضرس في وادي المشقر ٢١١ متر وتعتبر قيمة منخفضة تدل على قلة التضرس وبطء الجريان وبالتالي فان تدفق المياه في وادي المشقر لا يشكل خطورة.

- التضاريس النسبية (Relief ratio) ويرمز له (R_r) : يعبر هذا المعدل عن تضرس الحوض بالنسبة لطولة حيث يضع في الحساب درجة انحدار الأحواض لتلافي عيوب معدل التضرس، وكلما زادت نسبة التضرس دلت الى حدوث السيول الخطيرة حيث تزيد سرعة المياه وتقل الفوائد ، كما

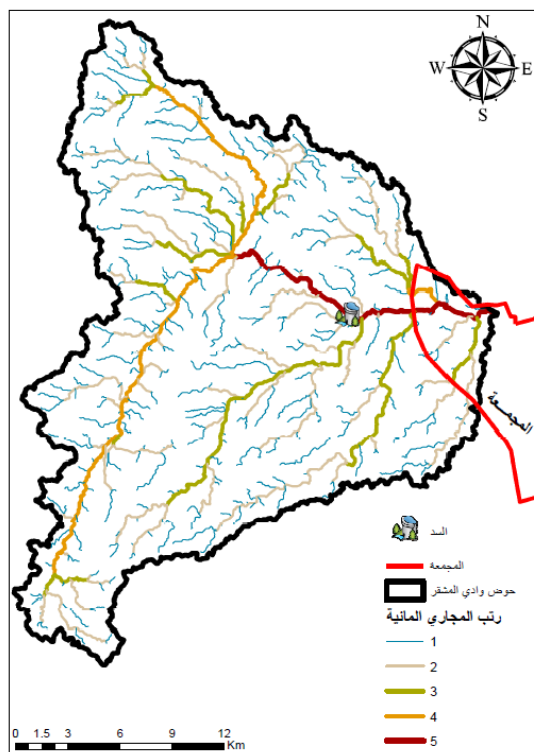
جدول رقم (٥)

نتائج الخصائص الشبكة المائية لحوض وادي المشقر

الرتبة	عدد المجاري	الطول كم	متوسط طول الرتبة	معدل طول الرتب	نسبة التشعب
الأولى	332	351	١,٠٥		
الثانية	73	139	١,٩٠	1.9	٤,٥٥
الثالثة	16	75	٤,٧٠	2.4	٤,٥٦
الرابعة	3	43	١٤,٣٣	1.7	٥,٣٣

٣	2.5	١٩	19	1	الخامسة
			627	425	المجموع
٤,٣٦					متوسط نسبة التشعب

الشكل ٤ . شبكة المجاري المائية لحوض وادي المشقر



يتم الاعتماد عليه حيث يرتبط زيادة الترتيب الهرمي لرتب المجاري بزيادة التفرع التي من خلالها يتم التصريف للمياه (Hajam et al. 2013). وعند التعرف على الرتب النهرية يمكن تفسير الانحدارات حيث الرتب العالية تمر على أراضي ذات انحدار اما الرتب المتوسطة تعني ان الأراضي ذات انحدار متوسط اما الرتب الأولى و الثانية تدل على الانحدار الشديد لأن المياه تتدفق بسرعة (Das & Pardeshi 2018). تشير النتائج ان وادي المشقر يتكون من خمسة رتب كما في الجدول (٥)

- رتب المجاري المائية (Stream Order) ويرمز لها (U) ويقصد بالرتب نظام تصريف المجاري بدرج هرمي في الحوض وتعد الرتبة العنصر المستند اليه لمعرفة نقطة التقاء مجرين من نفس الرتبة لت تكون لدينا رتبة جديدة حسب تصنيف ستيلر وتعتبر الرتب الأولى هي القاعدة الأساسية (علاجي، 2010 ؛ ريان، 2014) حيث ان تحديد رتب المجاري هي الخطوة الأولى و الأساسية في تحليل الاحواض (حضر، Hajam et al 1997؛ 1964). وفقا لنظام Strahler 1964 الذي سوف

الرتب في وادي المشقر تراوح بين 1.9 إلى 2.5. وتدل هذه النتيجة الى معدل متوسط في شدة التضاريس والمنحدرات وأن الحوض في مرحلة الشباب (Hajam et al. 2013).

نسبة التشعب Bifurcation ratio (Rb) ويرمز له (Rb). يقصد بمعدل التشعب النسبة بين عدد المجاري المائية في رتبة ما وعدد المجاري في الرتبة التي تليها. حيث ان نسبة التشعب تعكس توسيع المجاري المائية و التأثر الذي يصاحب سطح الحوض من الحفر الرئيسي بواسطة الروافد (Strahler 1964). تشير النتائج على ان معدل مدى التشعب لوادي المشقر ما بين ٣ إلى ٥,٣٣ كما في الجدول رقم (٥). أنظمة الصرف الطبيعية لديها نسبة تشعب من ٣ الى ٥ وتعتبر متاسبة تصاريسياً و مناخياً (Dubey et al. 2015. ; Das & Pardeshi, 2018 ; علاجي، 2010) . ومن النتائج نستطيع القول ان نسبة التشعب تعتبر طبيعية و مع زيادة بنسبة صغيرة عن المعدل الطبيعي في الرتبة الرابعة حيث كانت نسبة التشعب المشقر ٥,٣٣ . وبلغ متوسط معدل التشعب لحوض وادي المشقر ٤,٣٦ مما يدل على ضعف تأثير عوامل التعرية ونفادية التركيب الصخري في حوض الوادي (Strahler 1964).

خصائص نسيج الحوض:

تتأثر شبكة التصريف في الخصائص المناخية والخصائص الجيومورفولوجية المتمثلة بالانحدارات

ويحتوي على 425 مجراً في مساحة تبلغ ٥١٩ كم^٢.

عدد الرتب Stream number ويرمز لها (Nu). تعد الأحواض التي تضم عدداً كبيراً من الأودية ذات قدرة عالية في عملية جريان المياه، ويشكل عام يميل التصريف في المناطق الجافة إلى زيادة عدد الرتبة الأولى (حضر، 1997)، و يتاسب عدد الرتب طردياً مع حجم الحوض و ابعاده (Hajam et al. 2013)، ويقل عدد المجاري مع ازدياد الرتبة، حيث بلغ عدد المجاري في وادي المشقر بمجمل 425 حيث تتوزع في الرتبة الأولى (332) اما الرتبة الثانية (73) و الرتبة الثالثة (16) و الرتبة الرابعة (3) و الرتبة الخامسة (1) وبمجموع أطوال تقدر بـ 627 كم. كما في جدول(5)

طول الرتب Stream length (km) ويرمز لها (Lu). يتم قياس طول الرتبة من المنبع إلى المصب. وهناك علاقة بين أطوال الأودية والجريان المائي حيث ان زيادة متوسط الطول في الرتبة الواحدة يؤدي إلى طول رحلة الجريان. كذلك يمكن القول ان متوسط طول المجاري يزداد مع ازدياد الرتبة. وتشير النتائج الى ان مجموع أطوال الرتب في حوض وادي المشقر يبلغ ٦٢٧ كم . معدل طول الرتب Stream length ratio (Lur) ويرمز له (Lur). و يعني نسبة طول المجاري في الرتبة الواحدة بالنسبة لطول الرتب التي يليها (Das & Pardeshi , 2018) تشير النتائج ان معدل طول

تصريف المياه في الحوض $2 \text{ km}^2/\text{km}$ ^٢ وتأتي نتائج متغيرات نسيج الحوض على النحو التالي:

والعوامل الجيولوجية و أنواع الصخور. يوضح الجدول رقم (٦) نتائج قياس المتغيرات خصائص نسيج حوض وادي المشقر والذي بلغة كثافة

جدول رقم (٦)

نتائج الخصائص النسيج لحوض وادي المشقر

كثافة التصريف	تكرارية الرتب	معدل النسيج	طول التدفق الأرضي
١,٢	٠,٨	0.96	١,٦

كفاءة شبكة التصريف في سرعة نقل المياه (حضر 1997). ويعكس هذا المتغير العلاقة بين عدد المجاري ومساحة التصريف اي كلما ازداد عدد المجاري ازداد تكرار الرتب وبالتالي زادت الكثافة التصريفية (Das & Pardeshi, 2018). تكرارية المجاري بحوض وادي المشقر منخفضة لأنخفاض عدد المجاري حيث بلغ مقدار تكرار الرتب في وادي المشقر ٠,٨، الذي يدل ضعف احتمالية حدوث السيول.

- نسيج التصريف **Drainage Texture** ويرمز له (T): وهو مجموع عدد التدفقات على محيط الحوض (Horton, 1945). حيث يوضح هذا المعدل مدى شدة تقطع سطح الحوض. ويتأثر بمجموعة من العوامل منها المناخ ونوع الصخور والغطاء النباتي ومرحلة التطور الجيومورفولوجي التي يمر بها الحوض (Das & Pardeshi, 2018). ولقد بلغ معدل نسيج التصريف بواudi المشقر 0.96 km/km^2 مما يدل على خشونة نسيج التصريف حسب تصنيف (Smith, 1950) حيث

- **كثافة التصريف Drainage density** ويرمز له (Dd). تعد كثافة التصريف من أهم خصائص شبكات التصريف المائي لأنها تربط بين خصائص الشكل والعمليات الجيومورفولوجية على طول الأودية، كما أنها تعكس نسبة أطوال الأودية في وحدة مساحية محددة حيث يقصد بها نسبة انتشار الشبكة في مساحة الحوض المحددة (ابو العينين، ١٩٩٥). وهناك عده عوامل يمكن أن تؤثر عليها مثل نوعية الصخور والتربة والغطاء النباتي فكلما قلة النباتات زادت تعرية التربة ومن ثم زادت كثافة التصريف. وتشير نتائج التحليل إلى أنخفاض معدل كثافة التصريف في حوض وادي المشقر التي تبلغ $1,2 \text{ km/km}^2$ والذي يشير الى قابلية النفاذ لطبقات التركيب الصخري والذي بدورة يساهم في تقليل تأثير السيول جدول رقم (٦).

- **تكرار الرتب Stream Frequency** ويرمز له (Fs): يعني عدد الروافد في km^2 حيث يعتبر معدل تكرار الأودية مقاييساً يعطي صورة جيدة عن مدى شدة تقطع سطح حوض التصريف، فضلاً عن

التصريف ومساحة الحوض و اطواله حيث أنجز العمل بسرعة فائقة. حيث بلغ مساحة الحوض ٥١٩ كم^٢ وبلغ طول الحوض ٣١ كم تقريباً ضعف العرض الذي بلغ ١٦,٧ كم. ومن نتائج هذه الدراسة هو معدل الاستدارة البالغ ٠,٢٦ اي شكل لايعتبر دائري والذي يدل ان درجة خطورة الحوض من حيث السيلول قليلة لان المياه تصب الى المصب على شكل دفعات. أما خصائص الحوض الشكلية والتضاريسية تظهر ان ٤٣٪ من مساحة الحوض يعتبر انحدار خفيف والذ يشير بأن المياه تجري ببطيء مما يجعلها تأخذ وقت طويل في الوصول الى المصب وهذا ما يثبته ايضاً معامل التضرس حيث تعتبر قيمته المنخفضة مؤشر على قلة التضرس وبطء الجريان. ومن النتائج هذه الدراسة وصف تفاصيل شبكة المجاري المائية وهي كما يلي:

- يبلغ مجموع مجاري الميسلات الصغيرة بالرتبة الأولى ما يقارب ٣٣٢ مجري أي ما يعادل ٧٨٪ من مجموع مجاري حوض وادي المشقر.

- ومجموع مجاري الرتبة الثانية ما يقارب ٧٣ مجرى أي ما يعادل ١٧٪ من مجموع مجاري حوض وادي المشقر.

- مجموع مجاري الرتبة الثالثة ما يقارب ١٦ مجرى أي ما يعادل ٣٪ من مجموع مجاري حوض وادي المشقر.

صنف نسيج التصريف الذي أقل من ٤ تحت الفئة التي لديها خشونة في التصريف. ويمكن القول ايضاً ان كل ١ كم^٢ من مساحة الحوض تمتلك ٠,٩٦ من المجاري المائية لتصريف المياه.

- طول التدفق الأرضي **overland flow Length of** (Lo) : وهذا المتغير يعبر عن امتداد جريان الماء على سطح الحوض قبل ترکزة في الروافد المائية للحوض (Chorley, 1969). تشير النتائج الى ان طول التدفق الأرضي لحوض وادي المشقر ١,٦ كم والذي يدل إلى أن مياه الأمطار تحتاج الى وقت طويل لتكون مجاري الرتبة الأولى.

النتائج والتوصيات

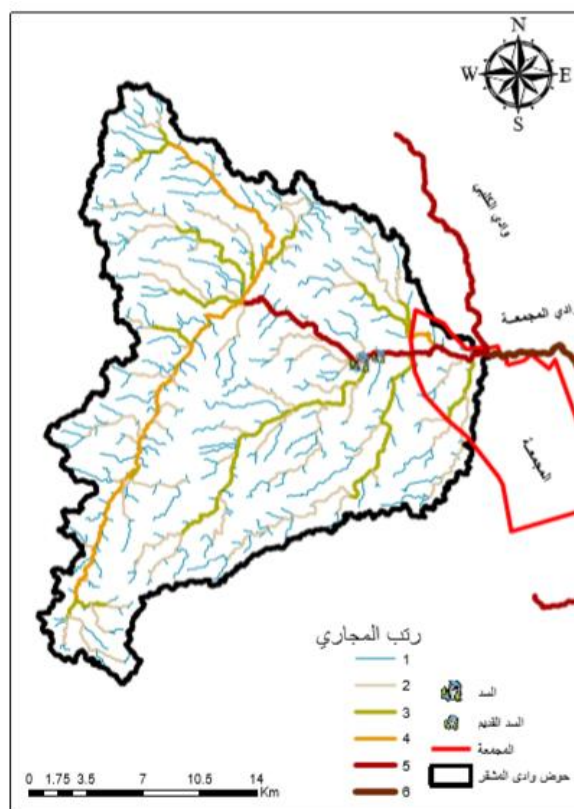
يوضح الشكل رقم (٥) موقع وادي المشقر والبقاءة مع وادي الكلبي الذي يكون وادي المجمعة حتى يصل الى جبال العرمة. ويوجد في وادي المشقر سدين احدهم سد ترابي جديد انشاء عام ٢٠١٠ والآخر قديم يقع غرب الجديد و الذي يعتبر سد لتخزين مياه الوادي والاستفادة منها. ولقد قدمت هذه الدراسة نموذج تطبيقي باستخدام نظم المعلومات الجغرافية و التحليل الكمي في تفسير المتغيرات المورفومترية لحوض وادي المشقر وتعد بديلاً ناجحاً عن الطرق القديمة التقليدية فهي اقل تكلفة واسرع في انجاز الدراسة. وكان من نتائج هذه الدراسة هو بناء قاعدة بيانات شاملة لحوض وادي المشقر لقياسات مورفومترية ومدلولاتها بالإضافة الى استخراج شبكات

الصخري والذي يعتبر مدلول اخر على بطئ تأثير السيول. كذلك وجود السدود التجميعية يساعد على التخفيف من مخاطر السيول في على المناطق العمرانية المحطة.

- ويبلغ مجموع مجاري الرتبة الرابعة ٣ مجراً أي ما يعادل ٠,٧ % من مجموع مجاري حوض وادي المشقر.

ويدل إنخفاض كثافة التصريف (١,٢ كم/كم²) في حوض وادي المشقر على نفادية طبقات التركيب

الشكل ٥. علاقة وادي المشقر بالاودية المجاورة



الارتفاعات الرقمية ويفضل ان تكون درجة الوضوح اقل من ٣٠ م لاستخراج التفاصيل والنتائج المورفومترية بشكل دقيق. حيث تساعد دراسة سلوكيات الوادي على توفير بعضاً أوسع وأدق من الدراسات أحادية الاتجاه. ولقد أوضحت دراسة المتغيرات المورفومترية لحوض وادي المشقر بأنه

مع تطور العلوم الجغرافية واعتمادها على نظم المعلومات الجغرافية في الكثير من التحليلات المكانية لسرعة استخراج نتائج ونظرًا لأهمية الجانب الطبيعي وخاصة المروفومترى والهيدرولوجي في الكشف عن مخاطر الأودية والاحواض على المدن المحيطة بها توصي هذه الدراسة باستخدام نماذج

- آل سعود، مشاعل بنت محمد، (٢٠١٥)، تطبيقات تقنية الاستشعار عن بعد والأساليب الجيوديسية المتطرفة في دراسة مورفومترية الوديان الجافة، بحوث جغرافية، الندوة السابعة، أقسام الجغرافيا بجامعات المملكة العربية السعودية، المملكة العربية السعودية.

- الجعدي، فرحان و بوروبة، محمد (١٤٢٨) تقدير تدفق الذرة للسيول بحوض وادي العين بمحافظة الخرج في المملكة العربية السعودية، مركز البحث، كلية الآداب، جامعة الملك سعود، عدد .١٢١

- الصالح، محمد بن عبدالله، (١٩٩٢م)، بعض طرق قياس المتغيرات في أحواض التصريف، بحوث جغرافية، العدد (٢٧)، مركز البحث- جامعة الماك سعود، الرياض، المملكة العربية السعودية.

- بلدية محافظة المجمعة، وزارة الشؤون البلدية والقروية (٢٠١٩) ، <http://www.majmun.gov.sa/> ، الوصول في ١٢ نوفمبر .٢٠١٩

- محسوب، محمد صبري، (٢٠٠٣)، القاموس الجغرافي الجوانب الطبيعية والبيئية، الطبعة الأولى، مطبعة الإسراء، القاهرة، مصر.

- عاشور، محمود. (١٩٩١) طرق التحليل المورفومترى لشبكات التصريف المائي. كلية الآداب، جامعة عين شمس، القاهرة

- خضر، محمود (١٩٩٧) ، الاخطار الجيومورفولوجية في مصر مع التركيز على السيول

لاتوجد خطورة على المناطق العمرانية المحيطة وخصوصا انه لا توجد في اطراف الوادي عند مدخل مدينة المجمعه الى المزارع التي تستفيد من جريان السيول. ومن ذلك توصي هذه الدراسة على ان لا يتم تغيير الاستعمالات للمناطق الزراعية التي يمر فيها المجرى الرئيسي للوادي الى استعمالات سكنية او تجارية. ومن التوصيات ايضا هو تدعيم هذه الدراسة بباحث في الجوابب الهيدروجيومورفولوجية التي تساعد على قياس تفاعل العوامل المختلفة وتحكمها في تشكل الوادي وحركة السيول.

المراجع

- أبو الشواشي، نادية (٢٠٠٣)، التحليل الجيومورفومترى لحوض وادي المجينين دراسة في أشكال سطح الأرض، رسالة ماجستير غير منشورة، كلية الآداب، جامعة السابع من ابريل، ليبيا.
- الأحيدب، ابراهيم، (١٩٩٦) ، أودية منطقة الرياض دراسة جغرافية، كلية العلوم الاجتماعية، جامعة الامام محمد بن سعود
- الغilan، حنان (٢٠٠٨). دور نظم المعلومات الجغرافية في دراسة الخصائص المورفومترية لحوض وادي لبن، ٢٠٠٨. رسالة ماجستير غير منشورة، كلية الآداب،جامعة الملك سعود، الرياض
- أبو العينين، حسن سيد أحمد، أصول الجيومورفولوجيا دراسة الأشكال التضاريسية لسطح الأرض، العدد(١١) مؤسسة الثقافة الجامعية، الاسكندرية، مصر، ١٩٩٥

منشورة، كلية العلوم الاجتماعية، جامعة الامام محمد بن سعود.

- علاجي، آمنة (٢٠١٠)، تطبيق نظم المعلومات الجغرافية في بناء قاعدة بيانات للخصائص المورفومترية ومدلولات الهيدرولوجية في حوض وادي يلم، رسالة ماجستير غير منشورة ، كلية العلوم الاجتماعية، جامعة ام القرى، مكة المكرمة المملكة العربية السعودية.

- ريان، وفاء، (٢٠١٤) ، الخصائص المورفومترية لحوض وادي الفارعة- فلسطين باستخدام نظم المعلومات الجغرافية ونماذج الارتفاعات الرقمية، رسالة ماجستير غير منشورة، كلية الآداب، الجامعة الإسلامية، غزة

المراجع الاجنبية

- Burrough, P. A., (1986). Principles of geographical information systems for land resources assessment. Oxford University Press, New York, p 50
- Chorley, RJ., (1969) Water, Earth and Man: A Synthesis of Hydrology, Geomorphology and Socio-Economic Geography. London: Methuen
- Dubey, S.K., Sharma, D. and Mundetia, N., (2015) Morphometric Analysis of the Banas River Basin Using the Geographical Information System, Rajasthan, India. Hydrology. Vol. 3, No. 5, pp. 47-54.
- Horton, R. E., (1932). Drainage basin characteristics. *Transactions of the American Geophysical Union*, 13:350–361
- Hajam RA, Hamid A, Bhat S (2013) Application of Morphometric Analysis for

في وادي النيل دراسة في الجيومرفولوجية التطبيقية، كلية الاداب، جامعة عين شمس ، القاهرة

- فراج، أبوبكر، (٢٠١٢) ، الأخطار الجيومرفولوجية في المنطقة بين بحيرة التمساح ورأس قناة السويس، رسالة ماجستير غير منشورة، كلية الآداب، جامعة القاهرة، مصر

- سلوم، غزوان (٢٠١٢). حوض وادي القنديل (دراسة مورفومترية). مجلة جامعة دمشق ، المجلد ٢٨ ، العدد الاول

- الهدلق، محمد. (١٩٨٧). مدينة المجمعـة دراسة جغرافية العمران والتخطيط. رسالة ماجستير غير

Geo-Hydrological Studies Using Geo-Spatial Technology –A Case Study of Vishav Drainage Basin. *Hydrol Current Res* 4:157. doi: 10.4172/2157-7587.1000157

- Horton, R. E., (1945). Erosional development of streams and their drainage basins; Hydro-physical approach to quantitative morphology. *Bulletin of the Geological Society of America*, 56:275–370.
- Schumm, S. A., (1956). Evolution of drainage systems and slopes in badlands at Perth Amboy, New Jersey. *Bulletin of the Geological Society of America*, 67: 597–646
- Smith, K. G., (1950). Standards for grading texture of erosional topography. *American Journal of Science*, 248:655–668
- Strahler, A. N., (1957). Quantitative analysis of watershed geomorphology.

- Transactions of the American Geophysical Union*, 38:913–920
- Strahler, A. N., (1964). Quantitative geomorphology of drainage basins and channel networks. In: Chow Chow, V., Ed., *Handbook of applied hydrology*. McGraw Hill, New York, 439-476.
 - Magesh NS, Chandrasekar N, Soundranayagam JP (2011) Morphometric evaluation of Papanasam and Manimuthar watersheds, parts of Western Ghats, Tirunelveli district, Tamil Nadu, India: a GIS approach. *Environ Earth Sci* 64(2):373–381
 - Young, A., 1972, Slopes: Edinburgh, Oliver & Boyd. 288p
 - Das, S., & Pardeshi, S., (2018). Morphometric analysis of Vaitarna and Ulhas river basins, Maharashtra, India-using geospatial techniques. *Applied Water Science*. 8. 158. 10.1007/s13201-018-0801-z.

Wadi Al-Mashqar in Al-Majmaah: Al-Morphometric Study using Digital Elevation Model

Hamad Altuwaijri,

Associate professor, Department of Geography, College of Art, King Saud University
Farhan Aljuaidi,

Associate professor, Department of Geography, College of Art, King Saud University
Munerah Al Khofi,

Graduate student, Department of Geography, College of Art, King Saud University

Abstract. morphometric analysis plays a major role in assessment of rivers and dry basins. This study aims to determine the morphometric variables of the Wadi Al-Mashqar basin, which is one of the most important wadies in the Arriyadh region. The wadi outlet crosses through Al-Majma'ah city and confluences with the Al Kalbi wadi, which adds to the importance of the study, as over the last decades, Al-Majma'ah city has witnessed various flooding events. DEM was used as the main source data to extract morphometric characteristics. GIS was used as a tool to analyze the factors. Wadi Al-Mashqar ranks a five, according to Strahler stream order, with a total of 425 streams and total length of 627 km. The results indicate that the limited impact of torrential rain on the urban area in Al-Majma'ah city is due to the low drainage density, which averages 1.2 km/km², as this leads to a slow impact of torrents.

Keywords: Al-Mashqar Wadi, Al Majmaah, Morphometric Analysis, Digital Elevation Model, GIS